



## شیمی کانی و تحولات دگرگونی‌ها در متابلیت‌های نئوپروتروزوئیک پسین مجموعه دگرگونی-آذرین جنوب دوچاه (جنوب‌شرق شهرود)

مژگان رضایی<sup>\*</sup>، محمود صادقیان<sup>۱</sup>، حبیب الله قاسمی<sup>۱</sup>، پاپادوپائلو لامبرینی<sup>۲</sup>

۱- گروه سنگ‌شناسی و زمین‌شناسی اقتصادی، دانشکده علوم زمین، دانشگاه صنعتی شهرود، شهرود، ایران

۲- گروه زمین‌شناسی کانی‌شناسی-سنگ‌شناسی-اقتصادی، مدرسه زمین‌شناسی، دانشگاه آریستوتل، یونان

(دریافت مقاله: ۹۸/۴/۱۰، نسخه نهایی: ۹۸/۶/۳۰)

چکیده: متابلیت‌های مجموعه پی‌سنگی دگرگونی-آذرین دوچاه (واقع در جنوب‌شرق شهرود) به سن نئوپروتروزوئیک پسین شامل میکاشیست، گارنت‌شیست، کلریتوئیدشیست و گارنت‌گنیس هستند. در بالاترین درجه دگرگونی، متابلیت‌ها دچار ذوب‌بخشی شده‌اند و در آن‌ها گرانیت‌زایی صورت گرفته است. بخش قابل توجهی از متابلیت‌ها، اثر نظام زمین‌ساختی تراکمی را به صورت وجود شواهد بارز دگریختی و میلیونیتی شدن شدید نشان می‌دهند. کلریت‌های ثانویه و فنزیت‌های موجود در متابلیت‌ها شواهدی از دگرگونی پسرونددهای هستند که در شرایط دما-فشار رخساره شیست سبز و طی بالازدگی این مجموعه تشکیل شده‌اند. دما-فشار‌سنجی متابلیت‌ها بیانگر بروز یک نظام دگرگونی پیش‌رونده نوع یارووین عادی، در ارتباط با رخداد کوهزادی کادومین (نئوپروتروزوئیک پسین) در شرایط دما و فشار رخساره‌های شیست‌سبز تا آمفیبولیت‌بالایی است.

واژه‌های کلیدی: شیمی کانی؛ دگرگونی؛ متابلیت؛ نئوپروتروزوئیک؛ دوچاه؛ شهرود.

ویژگی‌ها و سرگذشت زمین‌شناسی تقریباً مشابهی برخوردار هستند. پژوهش‌های ارزشمندی این مناطق در سال‌های اخیر انجام شده است [۹-۱۶].

در مورد مجموعه دگرگونی-آذرین جنوب دوچاه، تاکنون بررسی جامعی صورت نگرفته و پژوهش حاضر در نوع خود برای نخستین بار انجام شده است. این مجموعه شامل طیف ترکیبی متنوعی از سنگ‌های دگرگونی چون متابلیت، متاپیسمیت، متاکربنات و متابازیت بوده که میزبان سنگ‌های آذرین لوکوگرانیتی و بیوتیت‌گرانیتی است (شکل ۱). در این مقاله، شیمی کانی و تاریخچه دگرگونی‌های متابلیت‌ها ارائه شده است.

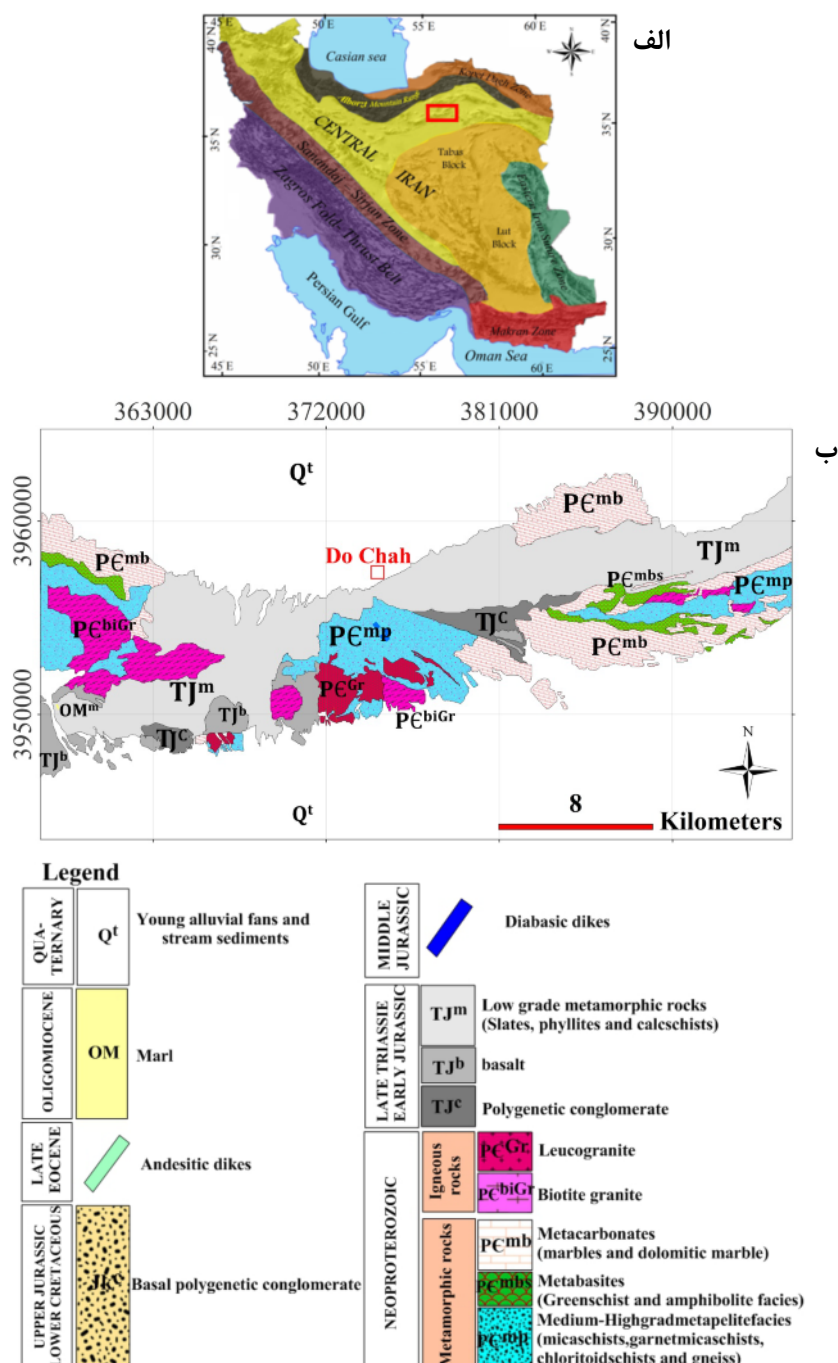
### روش بررسی

پس از بازدیدهای دقیق صحرایی، از نمونه‌های برداشتی تعداد مقطع نازک برای بررسی‌ها سنگنگاری تهیه شد. از میان

مقدمه در نقشه‌های جغرافیای دیرین کره زمین، ورقه ایران پیش از کامبرین را مانند بخش‌هایی از سرزمین‌های آوالونیای غربی و شرقی، توده سنگ مرکزی فرانسه، توده سنگ آرموریکن، توده سنگ بوهمیا (یونان و چک)، آناتولی (ترکیه)، هند، تاریم و چین، به صورت کرانه فعال قاره‌ای در لبه شمالی ابرقاره گندوانا در نظر گرفته‌اند [۱-۴]. در همه پهنه‌های زمین‌ساختاری ایران، به جز کپه‌داغ، فلیش شرق ایران و مکران، سرزمین‌های گندوانایی گزارش شده‌اند [۵-۸]. پهنه ایران مرکزی بیشترین بخش از این سرزمین‌های گندوانایی را در خود جای داده است. در شمال این پهنه، در جنوب و جنوب‌شرق شهرود، چند مجموعه دگرگونی-آذرین بی‌سنگی و گندوانایی با نام‌های محلی دوچاه، ماجراد، شترکوه، دلبر، بندهزارچاه، سفیدسنگ، احمدآباد، رضا آباد و میامی به طور پراکنده رخنمون دارند که از

روش ریزپردازش الکترونی تجزیه شدند. نمونه‌ها پیش از تجزیه، با لایه‌ای از کربن به ضخامت میانگین  $200\text{ \AA}$  با استفاده از محفظه بخار JEOL-4x پوشش داده شدند. تصاویر الکترونی از کانی‌ها به منظور تشخیص مناطقی با ترکیب شیمیایی متفاوت تهیه شد.

آنها، تعداد ۸ نمونه (۱ نمونه میکاشیست، ۵ نمونه گارنت میکاشیست، ۱ نمونه کلریت‌ویذشیست و ۱ نمونه گنیس) انتخاب شد و پس از تهیه مقاطع نازک-صیقلی، در آزمایشگاه مرکزی دانشگاه آریستوتل کشور یونان با میکروسکوپ الکترونی روبشی مدل JEOL JSM-840A ساخت ژاپن مجهز به طیف-سنجد ارزی با ولتاژ ۲۰ کیلوولت و شدت جریان  $۰.۴\text{ }\mu\text{A}$  به

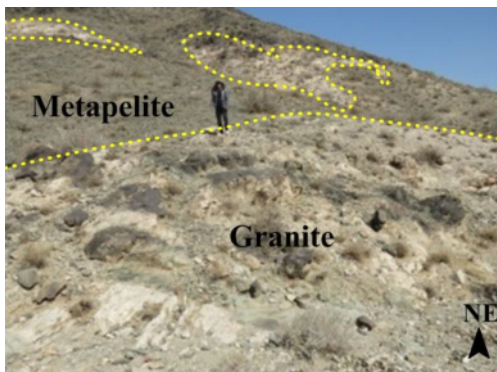


شکل ۱-الف-موقعیت منطقه مورد بررسی در نقشه پهنه‌های ساختاری و زمین‌شناسی ایران که با مستطیل قرمز مشخص شده است.  
ب-نقشه زمین‌شناسی مجموعه دگرگونی - آذرین جنوب دوچاه که بر اساس تصاویر گوگل ارت و بازدیدهای صحرایی این پژوهش تهیه شده است.

سازند شمشک در البرز بوده و در حوضه‌های کششی کافتی درون قاره‌ای تشکیل شده است [۱۷، ۱۸]. توالی یاد شده در رخداد کوهزادی سیمیرین‌میانی در زمان ژوراسیک‌میانی به مجموعه دگرگونی در حد شیست‌سیز دگرگون شده است. مجموعه دگرگونی- آذرین جنوب دوچاه و همچنین توالی رسوی- آتشفشاری دگرگون شده پوشاننده، چون مناطق دلبر، بندهزارچاه، شترکوه، ماجراد و رضآباد توسط دایک‌های دیابازی، آپوفیزها و سیل‌های کوچک مقیاس گابرو‌دیوریتی مورد نفوذ قرار گرفته است. با توجه به شواهد چینه‌شناسی و تعیین سن ایزوتوپی به روش U-Pb، سن اواخر تریاس تا ژوراسیک میانی را به آنها نسبت داده‌اند و آنها را بخشی از فعالیت‌های مagmaی وابسته به سیمیرین‌میانی در شمال پهنه‌ساختاری ایران مرکزی به حساب آورده‌اند [۱۷، ۱۹، ۲۰]. واحدهای کنگلومرایی به سن اواخر ژوراسیک- اوایل کرتاسه و کنگلومرای پالئوسن در منطقه مورد بررسی رخنمون دارند. رخنمون‌هایی از مارن‌های الیگومیوسن و رسوپ‌های آبرفتی- تخریبی کواترنر نیز در منطقه دیده می‌شوند.

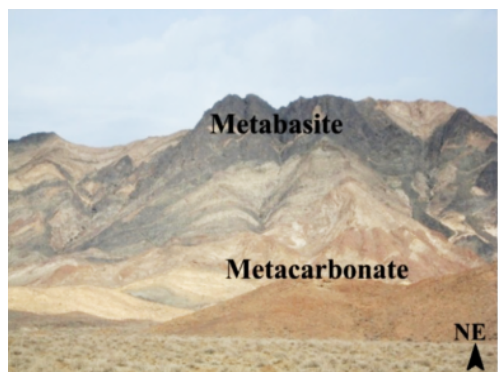


ب



ت

**زمین‌شناسی عمومی منطقه**  
مجموعه پی‌سنگی دگرگونی - آذرین جنوب دوچاه به سن نئوپرتوتروزوزئیک پسین در ۱۶۰ کیلومتری جنوب‌شرق شهرود، در کرانه شمالي پهنه ساختاری ایران مرکزی، بین طول‌های جغرافیایی  $52^{\circ} ۳۵'$  تا  $۵۳^{\circ} ۵۵'$  شرقی و عرض‌های جغرافیایی  $۳۷^{\circ} ۲۷'$  تا  $۳۵^{\circ} ۵۲'$  شمالی واقع است. واحدهای سنگی دگرگونی این مجموعه در بردارنده طیف متنوعی از سنگ‌های دگرگونی چون متاپلیت، ماسه سنگ دگرگونه، متاکربنات و متاپازیت است. متاپلیت‌ها در بردارنده سنگ‌های دگرگونی فیلیت، میکاشیست، گارنت‌شیست، کلریتوئیدشیست و گارنت-گنیس هستند. متاپازیت‌ها با ترکیب شیست‌سیز، اپیدوت-امفیبوليٹ، آمفیبوليٹ و گارنت‌امفیبوليٹ برونزد دارند. سنگ‌های آذرین نئوپرتوتروزوزئیک پسین این مجموعه شامل لوکوگرانیت و بیوتیت‌گرانیت هستند. این گرانیت‌ها از ذوب مجموعه دگرگونی- آذرین دوچاه با توالی رسوی پوشیده شده است. این توالی به سن تریاس پایانی- ژوراسیک پیشین معادل



آ



پ

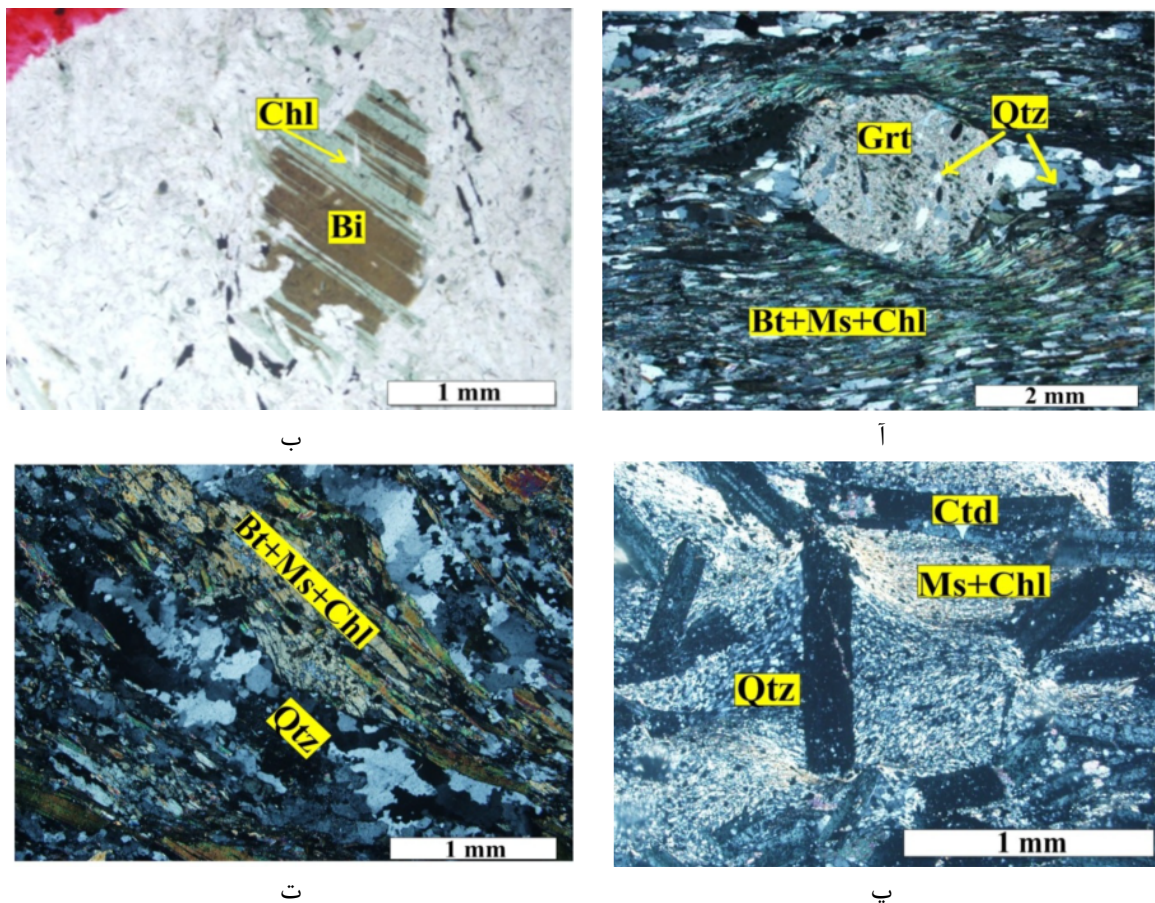
شکل ۲ الف- دورنمایی از متاپازیت‌های نئوپرتوتروزوزئیک پسین همراه با متاکربنات‌ها. ب- نمای نزدیکی از گارنت‌شیست، پ- نمای نزدیکی از کلریتوئیدشیست با شکفته بلورهای کلریتوئید به صورت دانه‌های برنجی شکل کوچک در اندازه ۲-۳ میلیمتر و ت- دورنمایی از دایک‌های لکوگرانیتی برآمده از مهاجرت مذاب‌های ناشی از ذوب متاپلیت‌ها.

تا حدود یک سانتيمتر متغير است. برخی از گارنت‌ها دارای میانبارهایی از کوارتز و مسکوویت هستند (شکل ۳ الف). از بافت‌های بارز میکاشیست‌ها و گارنت‌میکاشیست‌ها می‌توان به بافت‌های ورقه‌شکفتی، شکفته بلوری، پورفیری ورقه‌شکفتی و غربالی اشاره کرد. در انواع میلونیتی‌شده این سنگ‌ها نیز بافت‌های میلونیتی، پورفیری آواری و فلیزیر دیده می‌شود. در این سنگ‌ها، برخی از بیوتیت‌ها در راستای برگوارگی به کلریت دگرسان شده‌اند و در بخش‌های دگرسان‌شده، رنگ سبز کمرنگ نشان‌می‌دهند (شکل ۳ ب). حضور کلریت بیان کننده حضور آب طی دگرسانی و خروج پ TASIM از محیط دگرسانی بیوتیت‌هاست. پ TASIM خارج شده در تشکیل سریسیت شرکت کرده است. اغلب بلورهای گارنت موجود در گارنت میکاشیست‌ها نیز توسط کلریت و سریسیت جایگزین شده‌اند. تشکیل این کانی‌ها ناشی از دگرگونی پسروندۀ در اثر بالازدگی این سنگ‌ها و کاهش دما و فشار محیط است.

### بررسی‌های صحرایی و سنگ نگاری متاپلیت‌ها

فیلیت‌ها: فیلیت‌ها در بعضی قسمت‌ها با مقیاس سانتيمتری تا دسیمتری در تنابع با ماسه سنگ دگرگونه‌ها دیده می‌شوند که نشانگر وجود توالی شیلی و ماسه سنگی اولیه (سنگ‌مادر) است. جهت‌یافتنگی کانی‌های کلریت و مسکوویت به بروز بافت ورقه‌شکفتی در این سنگ‌ها منجر شده است.

**میکاشیست‌ها و گارنت‌شیست‌ها:** گسترش و پراکندگی میکاشیست‌ها نسبت به سایر سنگ‌های متاپلیتی در منطقه به مراتب بیشتر است و در برخی نقاط، ضخامت قابل توجهی (چند صد متر) دارند و در مواردی نیز همراه با متاپلیت‌ها، ماسه سنگ‌های دگرگونه و مرمرها به صورت بین‌لایه‌ای یافت می‌شوند. در میکاشیست‌ها، کانی‌های کوارتز، مسکوویت و بیوتیت از فراوانی بیشتری برخوردار هستند. آپاتیت، زیرکن، اکسیدهای آهن و تیتانیم کانی‌های فرعی این سنگ‌ها هستند. در بخش‌های گسترهای از میکاشیست‌ها، گارنت به صورت شکفته بلور تشکیل شده است. اندازه گارنت‌ها از چند میلیمتر



شکل ۳ تصاویر میکروسکوپی از متاپلیت‌ها: الف- گارنت‌شیست، ب- دگرسانی بیوتیت به کلریت، پ- کلریت‌وئیدشیست و ت- تنابع لایه‌های تیره و روشن در گنیس. علائم اختصاری کانی‌ها عبارتند از Qtz: کوارتز، Grt: گارنت، Chl: بیوتیت، Bt: کلریت، Ms: مسکوویت و Ctd: کلریت‌وئید.

تولید اپیدوت و اسفن (تیتانیت) مصرف شده است.

گرانیت‌زایی در متاپلیت‌های مجموعه جنوب دوچاه بسیار دیده می‌شود. در واقع، ذوب سنگ‌های متاپلیتی به تشکیل مذاب‌های گرانیتی منجر شده است. بسته‌های گرانیتی با مقیاس‌های سانتی‌متری تا کیلومتری در منطقه دیده می‌شوند.

#### Shawahd Rizsاختاری و میلونیتی‌شدن در متاپلیت‌ها

در متاپلیت‌ها، نوارهای برشی به شکل S و C دیده می‌شوند. سطوح S در نمونه‌ها با دانه‌های کشیده مسکوویت، فلدسپار پتاسیم (ارتوز و میکروکلین) و بیوتیت و سطوح C که برگوارگی اصلی میلونیتی هستند، از ابافت و سمت‌گیری بیوتیت، مسکوویت کلریت و نوارهای کوارتز مشخص می‌شوند. بیوتیت بیشتر به صورت پیچ و تاب خورده دانه‌ریز شده دیده می‌شوند. مسکوویت‌های ماهی‌شکل نیز در این سنگ‌ها یافت می‌شوند (شکل ۴ الف). چین‌خوردگی‌های بزرگ و کوچک در این سنگ‌ها پدیدار شده‌اند (شکل ۴ ب). دگربریختی کوارتز به صورت باز تبلور، خاموشی موجی، بودین‌شدگی و نواری‌شدن در این سنگ‌ها ظاهر شده‌اند. کلریت، مسکوویت، بیوتیت و نوارهای چندبلوری کوارتز در پیرامون سنگ‌های پورفیری آواری گارنت ابافت شده و ریزساختار پورفیری آواری سایه کرنشی را تشکیل داده‌اند (شکل ۴ پ). در متاپلیت‌ها، گاهی سنگ‌های پورفیری آواری نوع ۵ از جنس فلدسپار پتاسیم و گارنت دیده می‌شوند (شکل ۴ ت).

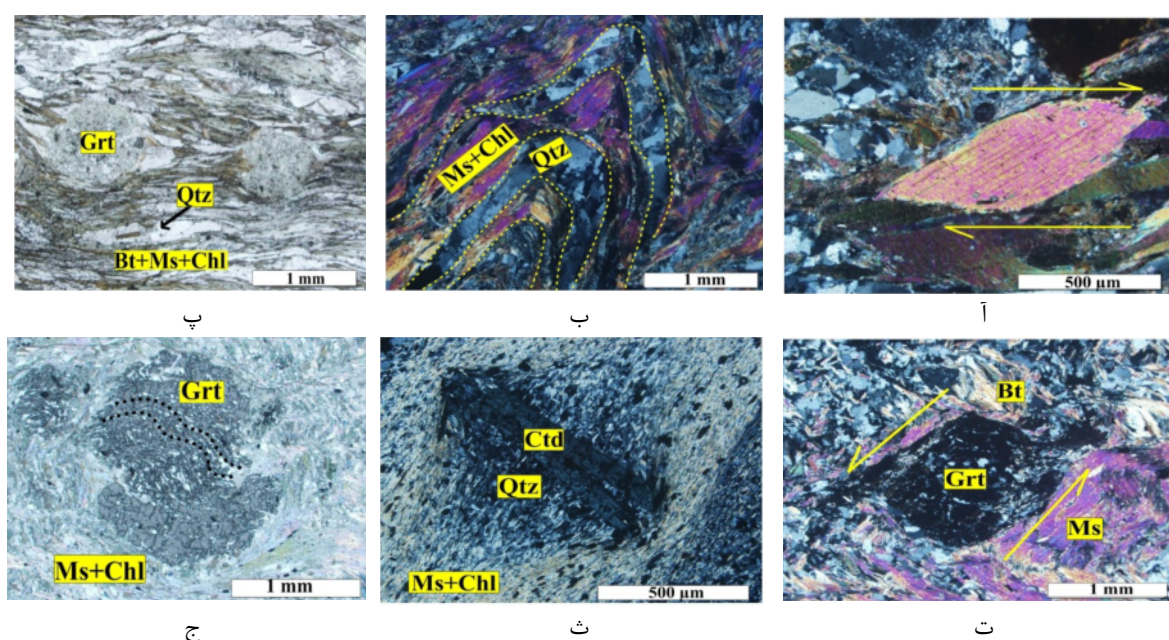
Shawahd Rizsاختاری و میلونیتی بیان شده همه بیانگر آن است که متاپلیت‌ها در پهنه‌های برشی دستخوش فرایندهای دگربریختی شده‌اند. در برخی شکفته بلورهای گارنت، میانبارهای کوارتز دارای الگوی منحنی شکل هستند و Shawahd از چرخش به شکل S را نشان می‌دهند (شکل ۴ ج). با توجه به Shawahd میلونیتی‌شدن و الگوی منحنی شکل میانبارها در گارنت، می‌توان نتیجه گرفت که رشد شکفته بلورهای گارنت در متاپلیت‌ها طی دگرگونی، همزمان تا پس از زمین ساخت (پس از دگرشکلی) صورت گرفته است. در کلریت‌شیمیست‌ها نیز بررسی رابطه بین زمینه و شکفته بلورها نشان می‌دهد که آنها پس از زمین ساخت رشد کرده‌اند.

**کلریت‌شیمیست‌ها:** این سنگ‌ها در منطقه مورد بررسی گسترش کمی دارند. شکفته بلورهای شکل‌دار کلریت‌شیمیست با اندازه ۳-۲ میلی‌متر، حدود ۵۰ تا ۷۰ درصد سنگ را به خود اختصاص داده‌اند (شکل ۳ پ). در زمینه این شکفته بلورها، مسکوویت، کلریت، کوارتز و ایلمینیت دیده می‌شود. بلورهای کلریت‌شیمیست اغلب به صورت متقاطع و برخی موازی با برگوارگی جهت‌گیری کرده‌اند. بررسی رابطه بین زمینه و سنگ‌های پورفیری آواری نشان می‌دهد که آنها پس از زمین‌ساخت (دگرشکلی) رشد کرده‌اند.

کلریت‌شیمیست به عنوان یکی از کانی‌های شاخص دگرگونی متاپلیت‌ها به سنگ‌های درجه پایین تا متوسط دگرگونی محدود می‌شود که در آن‌ها، مقدار آهن بیشتر از منیزیم است. این کانی شاخص بارزی برای محیط‌های فشار بالا محسوب می‌شود. کلریت‌شیمیست از شکسته‌شدن پیروفیلیت و کلریت به دست می‌آید. نوع آهن‌دار آن شاخص رخساره شیمیست‌سیز است [۲۱]. گفتنی است که در تشکیل کلریت‌شیمیست افزون بر ترکیب شیمیابی مساعد و دما و فشار در گستره پایداری این کانی، ترکیب سیال عامل مؤثر دیگری است. هولدیو [۲۲] بالاتر بودن  $\text{X}_{\text{H}_2\text{O}}$  را برای تشکیل کلریت‌شیمیست مؤثر می‌داند.

**گنیس‌ها:** با پیشرفت درجه دگرگونی، در بخش‌هایی از میکاشیمیست‌ها آثاری از فلدسپارزایی نیز به چشم می‌خورد که نشان می‌دهد که ساختار شیمیستی میکاشیمیست‌ها به سمت گنیسی‌شدن نزدیک شده است، به طوری که حالت گذاری بین شیمیست و گنیس قابل درک و مشاهده است. نواربندی گنیسی و رشد شکفته بلورهای فلدسپار قلیابی از ویژگی‌های بارز تفکیک کننده این سنگ‌ها از میکاشیمیست‌هاست. در مجموعه جنوب دوچاه، گنیس‌ها رخنمون کمی دارند (شکل ۳ ت).

گنیس‌ها از مجموعه کانی‌های کوارتز + فلدسپار + پلازیوکلаз + بیوتیت ± آلانیت ± زیرکن ± آپاتیت ± کلریت ± اپیدوت تشکیل شده‌اند. شکفته بلور گارنت در نمونه دستی قابل مشاهده نیست اما در برخی از مقاطع نازک به ندرت دیده می‌شود. برخی از بیوتیت‌های موجود در گنیس‌ها به کلریت دگرسان شده‌اند. یون  $\text{K}^+$  آزاد شده از بیوتیت، باعث سریسیتی-شدن پلازیوکلاز شده و کلسیم خارج شده از پلازیوکلاز در



شکل ۴ تصاویر میکروسکوپی نشانگر شواهد ریزساختاری و میلونیتی متاپلیت‌ها: الف- میکاماهی در میکاشیست، ب- ریزچین در میکاشیست‌ها، پ- سایه کرنشی پیرامون گارنت پورفیری آواری تجزیه شده به کلریت (در نور PPL)، ت- گارنت پورفیری آواری سیگماپی شکل. ث- هم راستا بودن شیستوارگی دوطرف شکفته بلور کلریت تؤید که نشان دهنده رشد پسا زمین ساختی شکفته بلور است. (در نور XPL) و ج- بافت گوله بر فی در شکفته بلور گارنت (در نور PPL).

شدن. نتایج تجزیه نقطه‌ای کانی‌ها در جدول‌های ۱ تا ۶ آمده است. برای بررسی و پردازش داده‌ها از نرم‌افزارهای Excel و Grapher استفاده شده است.

**شیمی کانی**  
به منظور تعیین ترکیب شیمیایی دقیق کانی‌ها و برآورد دما و فشار تشکیل متاپلیت‌ها در مسیر دگرگونی، کانی‌های بیوتیت، مسکوبیت، فلدسپار پتاسیم، گارنت و کلریت تجزیه شیمیایی

جدول ۱ نتایج آنالیز مایکروپریوب بیوتیت‌های متاپلیت‌های جنوب دوچاه (جنوب‌شرق شهرود).

نمونه نقطه	گنسیس			میکاشیست					گارنت میکاشیست	
	۱	۲	۳	۴	۵	۶	۷	۸	۹	
SiO <sub>2</sub>	۳۸.۶۴	۴۰.۱۷	۳۹.۵۶	۳۸.۱۰	۳۹.۱۶	۳۸.۴۳	۳۹.۷۹	۳۹.۸۱	۴۰.۰۳	
TiO <sub>2</sub>	۱.۸۲	۱.۷۰	۱.۶۸	۱.۸۱	۱.۷۱	۱.۷۳	۱.۹۳	۱.۹۰	۱.۸۹	
Al <sub>2</sub> O <sub>3</sub>	۱۷.۱۶	۱۷.۲۲	۱۶.۹۶	۱۶.۴۶	۱۶.۸۸	۱۶.۲۰	۱۷.۰۳	۱۷.۸۹	۱۷.۵۴	
FeO	۱۷.۱۸	۱۷.۰۶	۱۶.۸۰	۱۸.۰۸	۱۷.۳۳	۱۶.۲۰	۱۷.۳۸	۱۶.۹۰	۱۶.۹۷	
MnO	۰.۴۰	۰.۲۷	۰.۲۷	۰.۳۰	۰.۱۸	۰.۲۲	۰.۱۳	۰.۴۲	۰.۰۹	
MgO	۱۰.۹۵	۱۱.۰۷	۱۰.۹۰	۱۰.۳۷	۱۰.۸۱	۱۰.۰۶	۱۰.۷۶	۱۰.۴۲	۱۰.۲۴	
CaO	۰.۰۷	۰.۰۸	۰.۰۸	۰.۳۳	۰.۱۶	۰.۲۲	۰.۰۴	۰.۰۴	۰.۰۰	
Na <sub>2</sub> O	۰.۱۲	۰.۱۲	۰.۱۱	۰.۵۰	۰.۲۴	۰.۴۸	۰.۲۰	۰.۲۲	۰.۲۶	
K <sub>2</sub> O	۸.۶۲	۹.۳۵	۹.۲۱	۹.۳۰	۹.۲۳	۹.۴۶	۹.۵۵	۹.۳۸	۹.۷۷	
مجموع	۹۶.۹۶	۹۷.۰۳	۹۵.۵۷	۹۵.۷۴	۹۵.۷۰	۹۵.۷۱	۹۶.۸۱	۹۶.۷۷	۹۶.۷۹	
Si	۵۷.۸	۵۸.۷	۵۸.۷	۵۷.۴	۵۸.۳	۵۸.۰	۵۸.۵	۵۸.۴	۵۸.۷	
Ti	۰.۲۰	۰.۱۹	۰.۱۹	۰.۲۱	۰.۱۹	۰.۲۰	۰.۲۱	۰.۲۱	۰.۲۱	
Al <sup>IV</sup>	۲.۲۲	۲.۱۵	۲.۱۳	۲.۲۶	۲.۱۷	۲.۲۰	۲.۱۵	۲.۱۶	۲.۱۳	
Al <sup>VI</sup>	۰.۸۱	۰.۸۴	۰.۸۲	۰.۶۶	۰.۷۹	۰.۶۸	۰.۸۰	۰.۹۰	۰.۹۱	
Fe <sup>2+</sup>	۲.۱۵	۲.۰۹	۲.۰۷	۲.۳۴	۲.۱۶	۲.۲۷	۲.۱۴	۲.۰۷	۲.۰۸	
Mn	۰.۰۵	۰.۰۳	۰.۰۳	۰.۰۴	۰.۰۲	۰.۰۴	۰.۰۲	۰.۰۵	۰.۰۱	
Mg	۲۴.۴	۲۴.۱	۲۴.۰	۲۲.۳	۲۴.۰	۲۲.۶	۲۳.۶	۲۲.۸	۲۲.۴	
Ca	۰.۰۱	۰.۰۱	۰.۰۱	۰.۰۵	۰.۰۳	۰.۰۴	۰.۰۱	۰.۰۱	۰.۰۰	
Na	۰.۰۴	۰.۰۳	۰.۰۲	۰.۱۵	۰.۰۷	۰.۱۴	۰.۰۶	۰.۰۶	۰.۰۷	
K	۱.۶۴	۱.۷۴	۱.۷۰	۱.۷۹	۱.۷۵	۱.۸۲	۱.۷۹	۱.۷۵	۱.۸۳	
تعداد اکسیژن‌ها	۱۱	۱۱	۱۱	۱۱	۱۱	۱۱	۱۱	۱۱	۱۱	
Mg/(Mg+Fe <sup>2+</sup> )	۰.۵۳	۰.۵۴	۰.۵۳	۰.۵۰	۰.۵۳	۰.۴۹	۰.۵۲	۰.۵۲	۰.۵۲	

جدول ۲ نتایج تجزیه ریزپردازی مسکوویت‌های متاپلیت‌های مجموعه جنوب دوچاه (جنوب‌شرق شاهروд).

نمونه	شیست کلینتوئید			میکاشیست			گارنت میکاشیست		
SiO <sub>2</sub>	۴۵,۲۶	۴۵,۵۲	۴۵,۲۳	۴۸,۰۲	۴۸,۰۹	۴۷,۹۰	۴۸,۰۱	۴۸,۳۸	۴۹,۰۵
TiO <sub>2</sub>	۰,۱۸	۰,۰۶	۰,۲۲	۰,۷۱	۰,۵۳	۰,۴۱	۰,۳۳	۰,۵۸	۰,۲۶
Al <sub>2</sub> O <sub>3</sub>	۳۶,۸۷	۳۶,۱۸	۳۶,۴۷	۳۱,۹۹	۳۲,۶۳	۳۱,۵۱	۳۲,۶۸	۳۱,۳۳	۳۲,۳۹
FeO	۱,۳۱	۱,۷۶	۱,۴۵	۱,۹۶	۱,۸۹	۲,۵۰	۱,۷۳	۲,۹۷	۱,۷۲
MnO	۰,۰۹	۰,۲۵	۰,۰	۰,۰۰	۰,۰۲	۰,۱۴	۰,۰۰	۰,۰۰	۰,۱۰
MgO	۰,۳۰	۰,۲۲	۰,۵۲	۱,۴۹	۱,۱۳	۱,۴۸	۱,۳۱	۱,۸۷	۰,۰۰
CaO	۰,۲۶	۰,۰۴	۰,۲۹	۰,۲۲	۰,۱۳	۰,۰۴	۰,۰۵	۰,۲۱	۰,۰۰
Na <sub>2</sub> O	۱,۲۱	۱,۴۲	۱,۳۰	۰,۹۹	۱,۲۰	۰,۴۸	۰,۴۲	۰,۱۵	۰,۴۴
K <sub>2</sub> O	۹,۴۵	۹,۴۲	۹,۴۰	۹,۳۳	۹,۶۵	۱۰,۸۷	۱۰,۹۰	۱۰,۹۴	۱۰,۰۱
مجموع	۹۴,۹۳	۹۴,۸۶	۹۴,۹۸	۹۵,۲۱	۹۵,۲۸	۹۵,۳۲	۹۵,۹۱	۹۶,۲۲	۹۵,۹۶
Si	۶,۰۳	۶,۰۹	۶,۰۳	۶,۴۴	۶,۴۰	۶,۴۳	۶,۴۳	۶,۴۴	۶,۴۵
Ti	۰,۰۲	۰,۰۱	۰,۰۳	۰,۰۷	۰,۰۵	۰,۰۴	۰,۰۳	۰,۰۶	۰,۰۳
Al <sup>IV</sup>	۱,۹۷	۱,۹۱	۱,۹۷	۱,۵۶	۱,۶۰	۱,۵۷	۱,۵۷	۱,۵۶	۱,۵۵
Al <sup>VI</sup>	۳,۸۲	۳,۷۹	۳,۷۶	۳,۴۵	۳,۵۱	۳,۴۱	۳,۳۳	۳,۳۵	۳,۶۲
Fe <sup>2+</sup>	۰,۱۵	۰,۲۰	۰,۱۶	۰,۲۲	۰,۲۱	۰,۲۸	۰,۱۹	۰,۳۳	۰,۱۹
Mn	۰,۰۱	۰,۰۳	۰,۰	۰,۰	۰,۰	۰,۰۲	۰,۰۰	۰,۰۰	۰,۰۱
Mg	۰,۰۶	۰,۰۴	۰,۱۰	۰,۲۹	۰,۲۲	۰,۳۰	۰,۲۶	۰,۳۳	۰,۲۰
Ca	۰,۰۴	۰,۰۱	۰,۰۴	۰,۰۳	۰,۰۲	۰,۰۱	۰,۰۱	۰,۰۳	۰,۰۰
Na	۰,۳۱	۰,۳۷	۰,۳۴	۰,۲۵	۰,۳۱	۰,۱۲	۰,۱۱	۰,۰۴	۰,۱۱
K	۱,۶۱	۱,۶۱	۱,۶۰	۱,۵۸	۱,۶۴	۱,۸۶	۱,۸۴	۱,۸۶	۱,۶۸
تعداد	۲۲	۲۲	۲۲	۲۲	۲۲	۲۲	۲۲	۲۲	۲۲

جدول ۳ نتایج تجزیه ریزپردازی فلدسپارهای متاپلیت‌های مجموعه جنوب دوچاه (جنوب‌شرق شاهرود).

نمونه	میکاشیست			گارنت میکاشیست			گینس		
	لبه	درون	مرکز	لبه	درون	مرکز	لبه	درون	مرکز
نقاطه	لبه	درون	مرکز	لبه	درون	مرکز	لبه	درون	مرکز
SiO <sub>2</sub>	۶۱,۸۰	۶۱,۲۴	۶۱,۵۰	۶۴,۶۶	۶۴,۷۵	۶۴,۶۲	۶۲,۲۴	۶۲,۹۳	۶۱,۸۷
Al <sub>2</sub> O <sub>3</sub>	۲۴,۱۸	۲۴,۵۸	۲۴,۱۸	۱۸,۲۲	۱۸,۴۰	۱۸,۵۱	۲۳,۷۲	۲۲,۶۴	۲۴,۰۱
FeO	۰,۰۰	۰,۰۰	۰,۰۷	۰,۰۰	۰,۰۰	۰,۰۰	۰,۰۰	۰,۲۷	۰,۰۳
CaO	۵,۴۵	۵,۸۶	۵,۵۰	۰,۰۰	۰,۰۰	۰,۱۴	۵,۷۷	۴,۸	۵,۲۹
Na <sub>2</sub> O	۸,۶۴	۸,۲۷	۸,۵۴	۰,۲۶	۰,۴۴	۰,۴۰	۸,۶۵	۸,۰۸	۸,۶۲
K <sub>2</sub> O	۰,۰۱	۰,۱۶	۰,۰۶	۱۶,۴۹	۱۶,۲۳	۱۶,۲۴	۰,۰۸	۱,۹۲	۰,۱۱
لبه	۱۰۰,۰۸	۱۰۰,۰۸	۹۹,۸۵	۹۹,۶۳	۹۹,۸۲	۹۹,۹۱	۹۹,۹۶	۹۹,۹۲	۹۹,۹۳
Or (K)	۰,۰۶	۰,۹۰	۰,۳۴	۹۷,۶۷	۹۶,۰۳	۹۵,۷۲	۰,۴۶	۱۰,۸۷	۰,۶۰
Ab (Na)	۷۴,۱۳	۷۱,۲۰	۷۳,۴۹	۲,۳۳	۲,۹۷	۳,۵۸	۷۴,۴۷	۶۹,۶۸	۷۴,۲۴
An(Ca+Mn+Mg)	۲۵,۸۱	۲۷,۹۰	۲۶,۱۶	۰,۰۰	۰,۰۰	۰,۷۰	۲۵,۰۷	۱۹,۴۵	۲۵,۱۷
تعداد اکسیژن ها	۸	۸	۸	۸	۸	۸	۸	۸	۸

جدول ۴ نتایج تجزیه ریزپردازی گارنت‌های میکاشیست‌های مجموعه جنوب دوچاه (جنوب‌شرق شاهرود)

نمونه	گارنت میکاشیست						لبه
	مرکز			لبه			
نقاطه	لبه	مرکز	لبه	مرکز	لبه	مرکز	لبه
SiO <sub>2</sub>	۳۶,۵۹	۳۶,۷۳	۳۷,۰۲	۳۷,۱۸	۳۷,۲۴	۳۷,۲۵	۳۷,۴۱
Al <sub>2</sub> O <sub>3</sub>	۲۲,۱۰	۲۱,۶۰	۲۱,۳۳	۲۰,۷۷	۲۰,۶۴	۲۱,۰۱	۲۱,۰۴
FeO	۳۳,۷۷	۳۳,۴۰	۲۵,۲۲	۲۲,۱۱	۲۳,۱۰	۲۶,۴۳	۲۶,۵۱
MnO	۰,۴۳	۱,۸۴	۸,۸۶	۱۲,۵۷	۱۱,۴۷	۷,۵۲	۶,۹۳
MgO	۲,۴۷	۱,۸۷	۱,۰۶	۰,۹۴	۰,۶۹	۰,۹۳	۱,۳۸
CaO	۴,۵۸	۴,۷۳	۶,۳۶	۶,۳۱	۶,۲۹	۶,۶۲	۶,۵۸
مجموع	۱۰۰,۱۷	۱۰۰,۲۴	۱۰۰,۱۳	۹۹,۹۶	۹۹,۹۸	۱۰۰,۰۷	۱۰۰,۱
اسپیلاتین	%۰,۹۸	%۴,۱۷	%۲۰,۱۳	%۲۸,۶۶	%۲۸,۱۶	%۱۷,۰۸	%۱۵,۷۳
پیروپ	%۹,۸۲	%۶۷,۴۶	%۴,۲۴	%۳,۷۶	%۲,۷۵	%۳,۷۳	%۵,۵۳
آلماندین	%۷۴,۱۷	%۷۲,۲۹	%۵۶,۶۷	%۴۸,۶۶	%۵۱,۵۱	%۵۸,۵۲	%۵۹,۷۷
گروسوالز	%۱۲۳۸	%۱۳۳۶	%۱۷,۷۱	%۱۷,۷۳	%۱۷,۶۴	%۱۸,۸۲	%۱۸,۶۲
تعداد اکسیژن ها	۱۲	۱۲	۱۲	۱۲	۱۲	۱۲	۱۲

جدول ۵ نتایج آناليز مایکروپریوب کلریتوئیدهای متاپلیت‌های مجموعه جنوب دوچاه.

مرکز	درون	له	نقطه
۲۳,۹۷	۲۳,۵۵	۲۴,۵۰	۲۳,۷۶ SiO <sub>2</sub>
۰,۰۰	۰,۱۲	۰,۲۴	۰,۲۹ TiO
۴۱,۰۵	۴۱,۰۲	۴۱,۵۳	۴۱,۱۴ Al <sub>2</sub> O <sub>3</sub>
۲۶,۶۶	۲۷,۴۴	۲۵,۸۹	۲۶,۸۷ FeO
۰,۲۴	۰,۰۷	۰,۱۶	۰,۱۳ MnO
۱,۰۷	۰,۸۴	۰,۹۹	۰,۸۸ MgO
۰,۰۷	۰,۱۲	۰,۰۴	۰,۰۷ K <sub>2</sub> O
۹۳,۰۶	۹۳,۱۶	۹۳,۳۵	۹۳,۱۴ مجموع
۱,۹۹	۱,۹۶	۲,۰۱	۱,۹۷ Si
۰,۰۰	۰,۰۱	۰,۰۱	۰,۰۲ Ti
۱,۰۱	۱,۰۳	۱,۰۲	۱,۰۲ Al
۱,۸۵	۱,۹۱	۱,۷۸	۱,۸۶ Fe <sup>+2</sup>
۰,۱۳	۰,۱۰	۰,۱۲	۰,۱۱ Mn
۰,۰۲	۰,۰۰	۰,۰۱	۰,۰۱ Mg
۰,۰۱	۰,۰۱	۰,۰۰	۰,۰۱ K
۱۲	۱۲	۱۲	تعداد اکسیژن‌ها

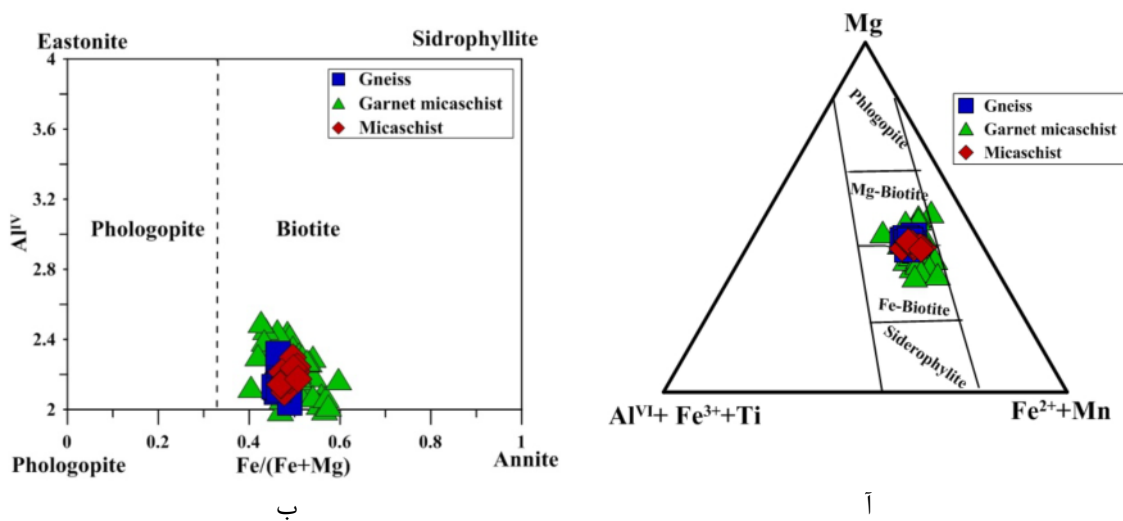
جدول ۶ نتایج تجزیه ریزپردازشی کلریت‌های متاپلیت‌های مجموعه جنوب دوچاه.

گنس	شیست کلریتوئند	garnet micaschict(patched)	میکاشیست	نمونه
۳۰,۴۹	۲۶,۱۲	۲۶,۷۲	۲۵,۹۸	۲۷,۶۹ SiO <sub>2</sub>
۰,۱۲	۰,۰۱	۰,۳۷	۰,۰۰	۰,۱۱ TiO <sub>2</sub>
۱۹,۱۸	۱۸,۶۹	۲۳,۰۶	۲۱,۹۹	۲۰,۸۶ Al <sub>2</sub> O <sub>3</sub>
۲,۴۵	۱,۸۳	۱,۱۳	۰,۳۲	۱,۴۷ Fe <sub>2</sub> O <sub>3</sub>
۱۷,۹۶	۲۲,۳۴	۲۲,۴۲	۲۴,۴۸	۲۲,۰۸ FeO
۰,۳۵	۰,۰۶	۰,۲۳	۰,۵۴	۰,۲۳ MnO
۱۵,۷۸	۱۳,۸۳	۱۴,۹۵	۱۴,۱۵	۱۵,۵۶ MgO
۰,۲۵	۰,۱۱	۰,۰۱	۰,۰۰	۰,۰۱ CaO
۰,۱۴	۰,۱۸	۰,۰۹	۰,۲۸	۰,۲۱ Na <sub>2</sub> O
۱,۲۰	۰,۴۱	۰,۲۶	۰,۳۰	۰,۰۹ K <sub>2</sub> O
۹۹,۸۷	۹۹,۶۸	۹۹,۹۲	۹۹,۷۱	۱۰۰,۱۴ مجموع
۶,۱۴	۶,۰۲	۵,۹۶	۵,۴۶	۵,۶۵ Si
۱,۸۶	۱,۹۸	۲,۴۲	۲,۵۴	۲,۳۵ Al <sup>IV</sup>
۲,۷۶	۲,۸۴	۲,۸۷	۲,۸۴	۲,۷۸ Al <sup>VI</sup>
۰,۰۲	۰,۰۵	۰,۰۰	۰,۰۰	۰,۰۲ Ti
۰,۳۷	۰,۱۱	۰,۲۴	۰,۱۸	۰,۲۳ Fe <sup>۳+</sup>
۳,۰۳	۲,۸۵	۳,۹۸	۴,۲۷	۳,۷۸ Fe <sup>۲+</sup>
۰,۰۶	۰,۰۷	۰,۰۶	۰,۱۴	۰,۰۴ Mn
۴,۷۴	۴,۷۲	۱,۸۴	۴,۶۱	۴,۷۵ Mg
۰,۰۵	۰,۰۶	۰,۰۲	۰,۰۰	۰,۰۰ Ca
۰,۱۱	۰,۱۴	۰,۱۴	۰,۲۳	۰,۱۷ Na
۰,۶۲	۰,۲۱	۱,۱۸	۰,۱۹	۰,۰۰ K
۲۸	۲۸	۲۸	۲۸	تعداد
		۲۸۸,۸۸	۲۹۳,۴۷	T°C

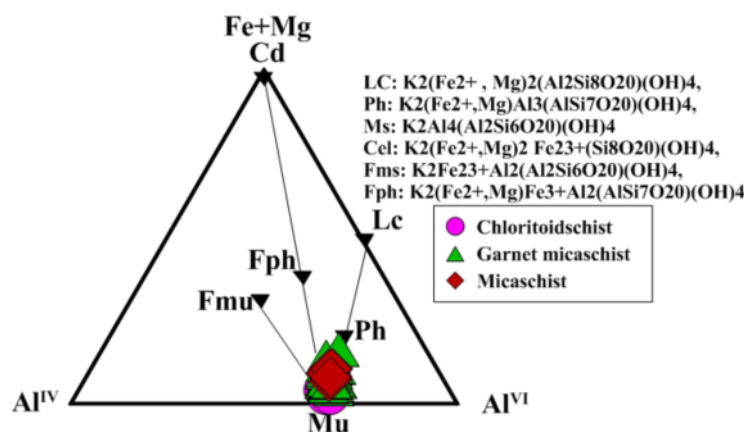
[۲۴]، بیوتیت‌های مورد بررسی در دو گروه بیوتیت‌های منیزیم‌دار و آهن‌دار جای دارند (شکل ۵).

مسکوویت: مسکوویت‌های مورد بررسی در کلریتوئیدشیست‌ها در نمودار مرجع [۲۵] پیرامون قطب مسکوویت واقع هستند. مسکوویت‌های بررسی شده از میکاشیست و گارنت‌شیست‌ها در قطب مسکوویت و مسکوویت مایل به فریت قرار دارند (شکل ۶).

بیوتیت: با توجه به نمودار تغییرات Al<sup>IV</sup> نسبت به Fe(Fe+Mg) [۲۳] برای رده‌بندی میکاها بیوتیت‌های موجود در میکاشیست‌ها، گارنت‌میکاشیست‌ها و گنیس‌های جنوب دوچاه در گستره ترکیبی بین آنیت و فلوگوپیت قرار دارند و همه از نوع بیوتیت هستند. همچنین برپایه رده بندی مرجع



شکل ۵ نمودارهای تعیین ترکیب بیویت‌ها: الف- نمودار تغییرات  $\text{Al}^{\text{IV}}/\text{Fe}(\text{Fe}+\text{Mg})$  نسبت به  $\text{Fe}/(\text{Fe}+\text{Mg})$  برای رده‌بندی میکاها [۲۳] و ب-نمودار مثلثی [۲۴] ( $\text{Al}^{\text{VI}} + \text{Fe}^{3+} + \text{Ti}$ )-  $\text{Mg} - (\text{Fe}^{2+} + \text{Mn})$ .



شکل ۶ نمودار تعیین ترکیب مسکوویت‌ها [۲۵] که مسکوویت‌های مورد بررسی بین قطب‌های مسکوویت و فنریت قرار دارند.

رانشان می‌دهند. بررسی روند تغییرات  $X_{\text{Fe}}$ ,  $X_{\text{Mg}}$ ,  $X_{\text{Ca}}$ ,  $X_{\text{Mn}}$  به طور همزمان، رفتار درست وارونه‌ای را برای آنها نشان می‌دهد. مقدار  $X_{\text{Fe}}$  از مرکز به سمت لبه به طور محسوس افزایش یافته است و بر عکس  $X_{\text{Mn}}$  کاهش محسوسی را نشان می‌دهد. همچنین  $X_{\text{Mg}}$  از مرکز به سمت لبه روند افزایشی نشان می‌دهد و در مقابل،  $X_{\text{Ca}}$  روند کاهشی دارد. این روندهای معکوس بیانگر این است که این عناصر در ساختار مولکولی گارننت‌های مورد بررسی به صورت محلول جامد جایگزین هم شده‌اند.

از تغییراتی که در کسر مولی سازا دیده می‌شود می‌توان نتیجه گرفت که طی رشد گارننت و افزایش درجه دگرگونی،

گارننت: ترکیب گارننت در گارننت‌میکاشیست‌ها به صورت  $(\text{Fe}^{2+}, \text{Mg}, \text{Ca}, \text{Mn})_3\text{Al}_2\text{Si}_3\text{O}_{12}$  نشان داده می‌شود. با این وجود،  $\text{Fe}^{3+}$  با مقدار کم به صورت جانشینی با  $\text{Al}$  در ترکیب گارننت حضور دارد. تجزیه شیمیایی نقطه‌ای گارننت‌های گارننت با اساس اعضای انتهایی آن‌ها به صورت  $\text{Alm}_{34.76}$  و  $\text{Sps}_{9.29}$ ,  $\text{Grs}_{8.49}$ ,  $\text{Pyr}_{2.49}$  است (شکل ۷ الف). منطقه‌بندی گارننت یکی از مهم‌ترین معیارها برای درک تاریخچه رشد این کانی و سنگ‌های دگرگونی است. به طور کلی، رشد منطقه‌بندی در گارننت با هسته‌های غنی از  $\text{Mn}$  و  $\text{Ca}$  و مقادیر بالای  $\text{Fe}$  و  $\text{Mg}$  در لبه‌ها مشخص می‌شود [۲۶, ۲۷].

شکل‌های ۷ ب و پ نیمرخ ترکیبی کسر مولی سازنده‌های گارننت‌ها، کلسیم، میزیم، منگز و آهن

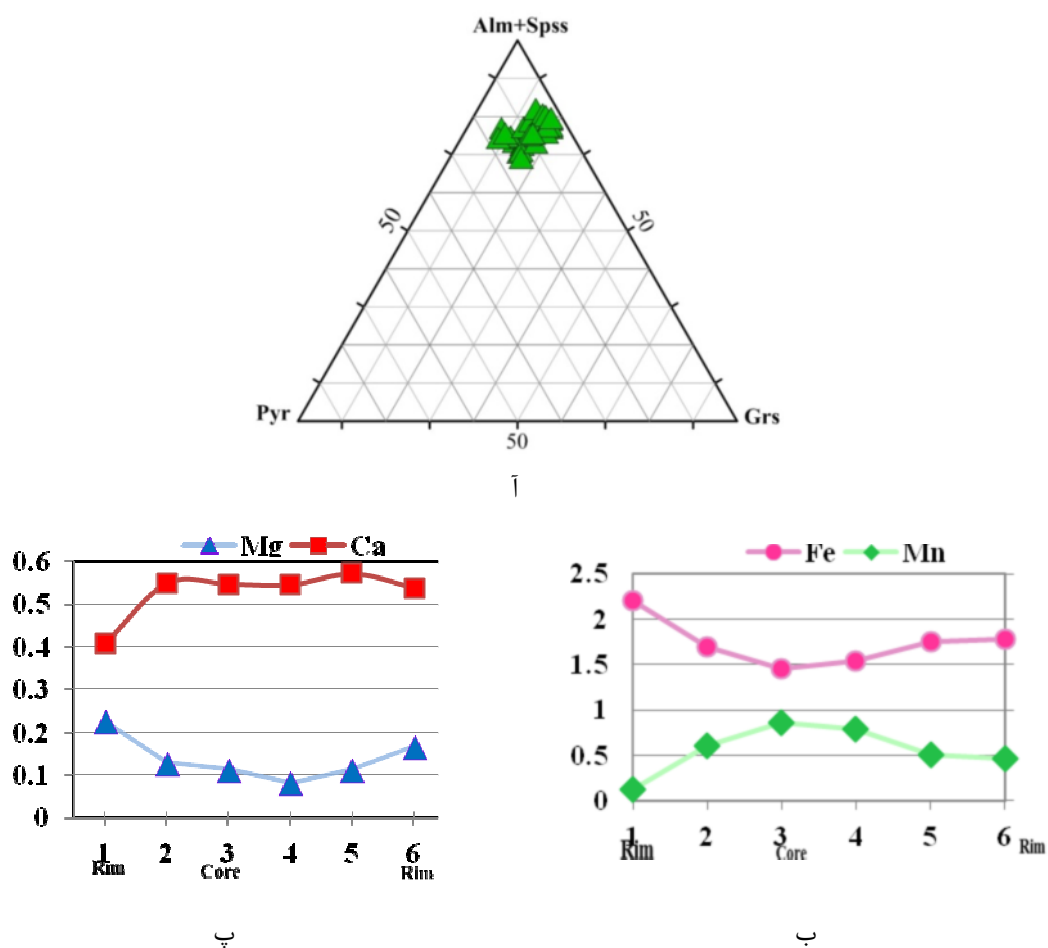
بیشتری نسبت به پلازیوکلازهای موجود در میکاشیستها و گارنت میکاشیستها باشد.

**کلریتوئید:** بر اساس داده‌های تجزیه نقطه‌ای، کلریتوئیدهای مورد بررسی در نمودار  $Mn-Mg-Fe^{2+}$  قرار دارند و از کلریتوئیدهای سرشار از آهن به حساب می‌آیند (شکل ۸ ب).

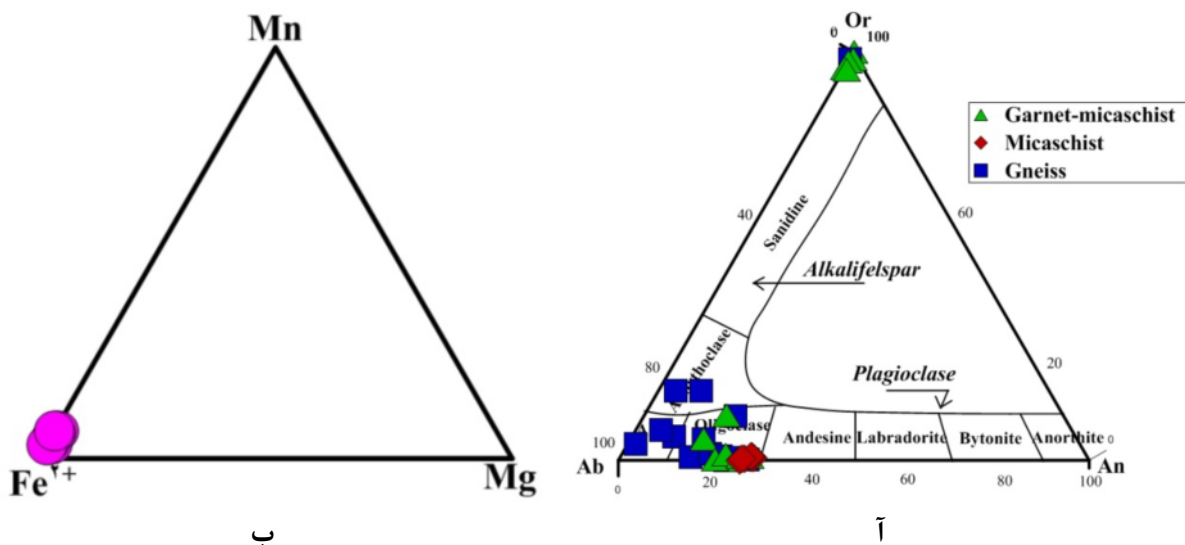
**کلریت:** کلریتها به صورت اولیه و ثانویه در نمونه‌های مورد بررسی حضور دارند. بارزترین شاهد دگرگونی پسروند، کلریت شدن بیوتیت و گارنت است. براساس نمودار  $Fe/(Fe+Mg)$  نسبت به  $Si$  [۲۹]، کلریتها مورد بررسی از کلریتوئید-شیستها از نوع ریپیدولیت و کلریتها اولیه و بیشتر کلریت‌های ثانویه در میکاشیستها، گارنت میکاشیستها و گنیس‌ها ترکیب یکسانی دارند و از نوع پیکنوکلریت هستند. چند تا از کلریتها از ثانویه از نوع ریپیدولیت هستند (شکل ۹).

مقادیر آهن و منیزیم یا به عبارتی  $X_{Mg}$  و  $X_{Fe}$  گارنت‌ها افزایش یافته و در مقابل مقادیر کلسیم و منگنز یا به عبارتی  $X_{Ca}$  و  $X_{Mn}$  کاهش یافته است. این تغییرات در مجموع بیانگر افزایش دما و فشار طی دگرگونی پیشرونده و رشد بلورهای گارنت است [۲۸].

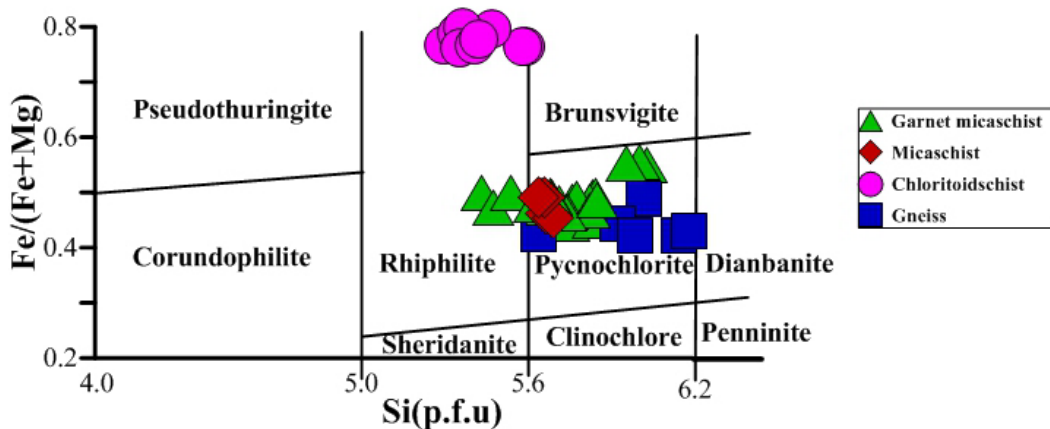
**فلدسپارها:** موقعیت ترکیبی فلدسپارهای قلیایی و پلازیوکلازهای مورد بررسی از میکاشیست، گارنت‌میکاشیست و گنیس در نمودار سه‌تایی رده‌بندی فلدسپارها [۲۳] نشان نشان داده شده است (شکل ۸ الف). ترکیب فلدسپارهای قلیایی بیشتر ارتوزی و ترکیب پلازیوکلازها اغلب آلبیتی و الیگوکلازی است. مقادیر آنورتیت پلازیوکلازهای میکاشیستها و گارنت‌میکاشیستها بیشتر از مقادیر آنورتیت پلازیوکلازهای گنیس-هاست. به طور معمول با افزایش دما، باید مقدار کلسیم شرکت کننده در ساخت پلازیوکلازهای سنگ‌های دگرگونی افزایش یابد و پلازیوکلازهای موجود در گنیس‌ها داشته آنورتیت



شکل ۷ الف- نمودار سه‌تایی مجموع اعضای نهایی  $Pry-(Alm-Sps)-Grs$  و موقعیت ترکیبی گارنت‌های مورد بررسی بر آن. ب و پ- نیمرخ‌های ترکیبی گارنت‌های مربوط به گارنت میکاشیستها از یک لبه تا لبه دیگر.



شکل ۸ الف- نمودار سه تایی  $\text{Ab}-\text{Or}-\text{An}$  [۲۳] و موقعیت ترکیبی نمونه‌های مورد بررسی بر آن. ب) نمودار  $\text{Mn}-\text{Mg}-\text{Fe}^{2+}$  که کلریتوئیدها نزدیک به راس  $\text{Fe}^{2+}$  واقع هستند.



شکل ۹ ترکیب شیمیایی کلریت‌های مورد بررسی از متاپلیت‌های مجموعه جنوب دوچاه در نمودار رده‌بندی کلریت‌ها [۲۹].

$$T(\text{°C}) = \{( \text{Ln}(\text{Ti}) + 2.3594 + 1.7283(X_{\text{Mg}})^3 ) / (4.6482 * 10^{-9})\}^{0.333} \quad (1)$$

دماهایی که بر اساس دماسنجدی بیوتیت‌های مورد بررسی از سنگ‌های مختلف به این روش بدست آمده به شرح زیر است: میکاشیست‌ها دماهای بین ۵۶ تا ۵۶۷ درجه سانتیگراد، بیوتیت‌های موجود در گارنت میکاشیست‌ها دمای ۴۲۹ تا ۶۲۹ درجه سانتیگراد و بیوتیت‌های گنیس‌ها دماهای ۵۲۸ تا ۶۴۶ درجه سانتیگراد را نشان می‌دهند (جدول‌های ۷ و ۸). نتایج دماسنجدی با استفاده از تک کانی بیوتیت در شکل ۱۰ ارائه شده‌است. در این شکل، در مجموع دمای فزاینده از میکاشیست به سمت گنیس دیده می‌شود.

برآورده دما و فشار دگرگونی پیشرونده در متاپلیت‌های جنوب دوچاه و مسیر دما- فشار- زمان آنها دماسنجدی بر اساس میزان  $\text{Ti}$  موجود در بیوتیت فراوانی تیتانیم ( $\text{Ti}$ ) موجود در بیوتیت‌های سنگ‌های دگرگونی وابسته به شرایط دماهی است و در نتیجه می‌تواند یک زمین- دماسنجد مؤثر باشد. افزون بر دما، عوامل دیگری مانند فشار، شیمی کانی بیوتیت و همبتری کانی‌ایی بر مقدار  $\text{Ti}$  اثرگذار هستند [۳۰]. دما بیشترین اثر را بر مقدار  $\text{Ti}$  در بیوتیت دارد و با افزایش دما، مقدار  $\text{Ti}$  آن افزایش می‌یابد [۳۱].

دماهایی که بر اساس زمین‌دماسنجدی  $\text{Ti}$  در تک کانی بیوتیت به دست می‌آید را می‌توان بر پایه تصویرگیری مقادیر  $\text{Ti}$  و  $\text{Mg} \# = \text{Mg}/(\text{Mg}+\text{Fe})$  [۳۱] یا بر اساس رابطه زیر برآورده کرد:

متابازیت‌های همراه با متاپلیت‌ها در منطقه مورد بررسی شامل شیستسیز، آمفیبولیت و گارنت‌آمفیبولیت هستند. گستره دمایی ۳۸۷ تا ۶۳۶ درجه سانتیگراد و فشار ۲/۷ تا ۱۱ کیلوبار با میانگین فشار ۶/۵ کیلوبار برای توقف تبادل و تعادل نهایی آنها برآورده است (رضایی و همکاران، مقاله در دست توجهی با نتایج بدست آمده برای متاپلیت‌ها ۴۲۹ تا ۶۴۶ درجه سانتیگراد) دارد. با توجه به طیف گسترده سنگ‌های متاپلیتی (فیلیت تا گنیس)، رسیدن به ذوب‌بخشی و تشکیل گرانیت‌ها و همچنین فشار بدست آمده برای تشکیل متابازیت‌ها می‌توان نتیجه گرفت که دگرگونی پیشرونده در حد رخساره شیستسیز تا آمفیبولیت بالایی در منطقه رخ داده است.

### فشارسنجدی متاپلیت‌ها

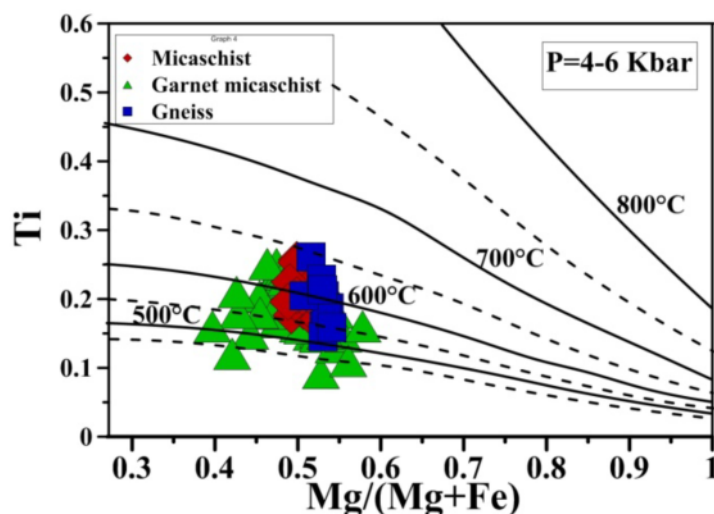
متاپلیت‌های مورد بررسی با وجود گسترش بسیار، تنوع کانی‌شناسی چندانی ندارند. نبود کانی‌های مانند آلومینوسیلیکات و استارولیت، به علت مقدار کم آلومینیم و آهن در سنگ مادر متاپلیت‌های مورد بررسی است و در واقع، سنگ‌های مادر آن‌ها رسی واقعی نبوده و نیمه رسی بوده‌اند. از آنجا که سنگ‌های رسی دگرگونه (متاپلیت‌ها) دستخوش دگرسانی شده‌اند و مجموعه کانی‌ای آنها (بیوتیت و گارنت) اغلب به کلریت و مسکویت دگرسان شده‌اند، آنها دارای مجموعه کانی‌ای مناسب برای دما-فشارسنجدی و به ویژه فشارسنجدی نیستند. البته با توجه به مفهوم رخساره دگرگونی می‌توان دما-فشار تشکیل متاپلیت‌ها (سنگ‌های همراه) را به شرایط دما و فشار متاپلیت‌ها نیز تعمیم داد.

جدول ۷ مقادیر  $Ti(\text{apfu})$  و  $X(\text{Mg})$  و نتایج دماسنجدی چند نقطه از بیوتیت‌ها در متاپلیت‌های مورد بررسی.

نقطه	۱	۲	۳	۴	۵	۶	۷	۸	۹
$Ti(\text{apfu})$	۰,۲۰۹	۰,۲۱۰	۰,۲۱۳	۰,۱۹۶	۰,۱۹۱	۰,۲۰۵	۰,۱۸۷	۰,۱۸۷	۰,۲۰۴
$X(\text{Mg})$	۰,۵۱۸	۰,۵۲۴	۰,۵۲۵	۰,۴۸۸	۰,۵۲۶	۰,۴۹۹	۰,۵۳۶	۰,۵۳۶	۰,۵۳۲
دما(درجه سانتیگراد)	۶۰۵,۶۹	۶۰۸,۱۱	۶۱۱,۸۱	۵۸۵,۰۰	۵۹۰,۳۹	۵۹۷,۲۹	۵۸۸,۸۹	۵۸۸,۸۹	۶۰۵,۴۶

جدول ۸ حد بالا و پایین دمای متاپلیت‌های مورد بررسی

میکاشیست	حد پایین دما	حد بالای دما
میکاشیست	۵۶۰	۶۳۷
گارنت میکاشیست	۴۲۹	۶۲۹
گنیس	۵۲۸	۶۴۶

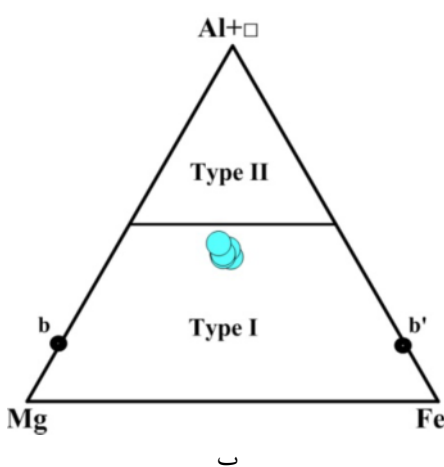


شکل ۱۰ خطوط همدمای رسم شده بر نمودار تعداد اتم‌های  $Ti$  نسبت به  $Mg$  # در واحد ساختاری بیوتیت [۳۰].

اکسیژن به دست می‌آید. در کلریت‌ها، Mg و Al کاتیون‌های هشت وجهی اصلی محسوب می‌شوند و افزایش Al با افزایش تهیجا ( $X\Box$ ) همراه است. با توجه به مجموعه‌های کانی‌ای، کلریت‌های نوع I و II بیانگر رخساره دما و فشار تشکیل کلریت هستند. کلریت‌های نوع II کلریت‌های متاپلیت‌های غنی از Al و دمای کم-فشار متوسط هستند. کلریت‌های نوع I کلریت‌های متاپلیت‌های معمولی و فشار کم هستند. در کلریت‌های ثانویه مورد بررسی، با مقدار Fe و Mg بیشتر از Al است. این کلریت‌ها از نوع I و آهن و منیزیم دار هستند (شکل ۱۱ ب). همچنین با توجه به مجموعه کانی‌شناسی کلریت+ سریسیت+ کوارتز تشکیل شده در این سنگ‌ها، این کلریت‌ها از نوع فشار و دمای کم هستند. با توجه به دماسنجدی کلریت‌های ثانویه (۲۴۸ تا ۲۹۳ درجه سانتیگراد) و همچنین رده‌بندی مرجع [۳۳]، در نظر گرفتن دگرگونی پسروندۀ، با شرایط دگرگونی رخساره شیست سبز برای متاپلیت‌های جنوب دوچاه، منطقی به نظر می‌رسد.

#### تاریخچه دگرگونی‌ها در متاپلیت‌ها

مجموعه دگرگونی جنوب دوچاه شامل سنگ‌های متاپلیتی، متاپسامیتی، متاکربناتی و متابازیتی است. ترکیب کانی‌شناسی و سنگ‌شناسی این سنگ‌ها نشان می‌دهد که سنگ‌های مادر آنها دارای طیف ترکیبی گستره‌های از ماسه‌سنگ، شیل، آهک، دلومیت، مارن، بازالت، گلبرودیوریت و آتشفسانی-تخربی‌های واپسته بوده است و از مناطق بسیار کم عمق تا عمیق حوضه‌های رسویی مربوط به حوضه‌های کششی درون قاره‌ای هستند.



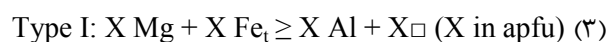
شکل ۱۱ الف- تصویر الکترونی پس پراکنشی بیوتیت تبدیل شده به کلریت مربوط به گارنت‌شیست‌ها و ب- نمودار مثلثی  $\text{Fe}-\text{Mg}-\text{Al}+\Box$  [۳۳] و جایگاه نمونه‌های مورد بررسی بر روی آن.

#### برآورد دما و فشار دگرگونی پسروندۀ

در متاپلیت‌ها پس از پیشرفت دگرگونی تا ذوب بخشی، طی بالا زدگی و قرارگیری در نزدیکی سطح زمین و شرایط دما- فشار رخداد دگرگونی پسروندۀ، برخی از بیوتیت‌ها و گارنت‌های دمای بالا به کلریت و سریسیت دمای پایین تبدیل شده‌اند (شکل ۱۱ الف). کلریت همواره به عنوان زمین‌دماسنجد کار رفته است، زیرا ساختار و ترکیب شیمیایی آن می‌تواند نشانگر شرایط تشکیل باشد [۳۲]. در واقع، عامل اصلی کنترل کننده ترکیب کلریت هم در محیط‌های دگرگونی و هم گرمایی، دماست. به منظور تعیین دمای تبلور کلریت‌های جایگزین شده به جای بیوتیت‌ها و گارنت‌های متاپلیت‌های جنوب دوچاه از رابطه فرمول زیر استفاده شد [۳۲]:

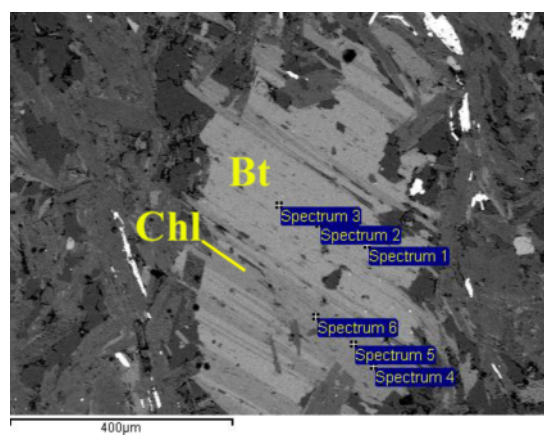
$$T(\text{°C}) = 213.3\text{Al}^{\text{IV}} + 17.5 \quad (2)$$

در این جا،  $\text{Al}^{\text{IV}}$  در فرمول ساختاری کلریت بر پایه ۱۴ اکسیژن محاسبه شد. بر این اساس، دمای ۲۴۸ تا ۲۹۳ درجه سانتیگراد برای تبلور کلریت‌های ثانویه بدست آمد. زین و ویس [۳۳] با در نظر گرفتن  $\text{FeO}=\text{Fe}$ ، نمودار سه‌تایی  $\text{Fe}-\text{Mg}-\text{Al}+\Box$  را طراحی کردند که در آن دو نوع کلریت نوع I و II به ترتیب با ویژگی‌های زیر قابل تشخیص است.



در روابط بالا  $\Box$  تهیجا را نشان می‌دهد و عبارت است از:  $X\Box = 12 - \sum(\text{R}^{2+} + \text{R}^{3+} + \text{R}^{4+})^{\text{VI}}$

که پس از محاسبه فرمول ساختاری کلریت بر اساس ۲۸



آ

امر کمک کند.

### برداشت

سنگ‌های رسی دگرگونه (متاپلیت‌ها) در مجموعه پی-سنگ جنوب دوچاه، در جنوب‌شرق شهرود، شامل فیلیت، میکاشیست، گارنت‌شیست، کلریتوئیدشیست و گنیس هستند. شدت دگرگونی در بالاترین درجه تا مرز ذوب‌بخشی این سنگ‌ها و تشکیل گرانیت پیش رفته است. بخش قابل توجهی از متاپلیت‌ها تحت تأثیر فازهای زمین ساختی شواهد میلیونی و دگریختی نشان می‌دهند. وجود کلریت‌های ثانویه و فنزیت در این متاپلیت‌ها بیانگر کاهش دما، بالآمدگی و دگرگونی پسروند طی بالازدگی این سنگ‌هاست. بر اساس دما‌سنجدی متاپلیت‌ها بر پایه مقدار تیتانیوم موجود در کانی بیوتیت، میکاشیست‌ها، گارنت‌شیست‌ها و گنیس‌ها، در گستره دمایی ۴۲۹ تا ۶۴۶ درجه سانتیگراد تشکیل شده‌اند. فشار تشکیل متاپلیت‌ها بر اساس فشار‌سنجدی متباذیت‌های همراه آنها که ۱۱ تا ۲/۷ کیلوبار با میانگین ۶/۵ کیلوبار است، برآورد شد. کلریت‌های ثانویه بر اساس تجزیه شیمیایی نقطه‌ای و دما‌سنجدی آنها، در گستره دمایی ۲۴۸ تا ۲۹۳ درجه سانتیگراد تشکیل شده‌اند. یافته‌ها بیانگر رخداد یک نظام دگرگونی پیشروند نوی بارووین با گستره دما و فشار رخساره‌های شیست‌سبز تا آمفیبولييت بالايي است. دگرگونی پسروند نيز در شرایط دما و فشار در گستره رخساره شیست سبز صورت گرفته است.

### مراجع

- [1] Ramezani J., Tucker R.D., "The Saghand Region, Central Iran: U-Pb geochronology, petrogenesis and implications for Gondwana tectonics", American Journal of Science, 303 (2003) 622-665.
- [2] Linnemann U., Romer R.L., Gerdes A., Jeffries T.E., Drost K., Ulrich J., "The Cadomian orogeny in the Saxo-Thuringian zone. In: Linnemann, U., Romer, R.L. (Eds.), Pre-Mesozoic Geology of Saxo-Thuringia – From the Cadomian Active Margin to the Variscan Orogen", Schweizerbart, Stuttgart 2(2010) 37–58.
- [3] Golonka J., "Chapter 6 Phanerozoic palaeoenvironment and palaeolithofacies maps of

در اين حوضه‌های رسوبی، طی کشش‌های همزمان با بازشدگی، شرایط مساعدی برای تشکیل و صعود ماقماهای بازی و جایگیری آنها در توالی سنگی اوخر نئوپروتروزونئیک فراهم شده است. در برخی نقاط، این حوضه‌ها به مرحله توسعه و تشکیل ورقه اقیانوسی گستردۀ نرسیده و با برقراری یک نظام تراکمی قوی در سرزمین‌های شمال گندوانا، بسته شده و به احتمال بسیار تا مرحله برخورد قاره - قاره پیش رفت‌اند. با در نظر گرفتن شدت و ضعف بسته‌شدن و فرورانش‌های ناقص احتمالی و از سوی دیگر فرارانش ورقه‌های سنگی، سنگ‌های درگیر در این فرایندها دستخوش دگرگونی در حد رخساره شیست‌سبز تا آمفیبولييت‌بالایی شده‌اند. در اوج دما و فشار دگرگونی، شرایط برای ذوب‌بخشی متاپلیت‌ها و گرانیت‌زایی فراهم شده است. دگرگونی دینامیکی ناشی از فازهای زمین‌ساختی سبب تشکیل پهنه‌های بُرّشی و ظهرور شواهد میلیونی و دگریختی در مجموعه دگرگونی - آذرین دو چاه شده است. همچنین با بالازدگی سنگ‌های دگرگونی و نزدیک شدن به سطح زمین همزمان با کاهش شرایط دما و فشار محیط، دگرگونی پسرونده رخ داده است.

از سن‌سنجدی‌های انجام شده به روش اورانیم- سرب بر زیرکن‌های استخراج شده از متاپلیت‌های پی‌سنگی مجموعه-های همسایه شترکوه و ماجراد، به ترتیب سن ۵۷۹ تا ۵۴۸ میلیون سال [۳۴] و ۵۱۳ تا ۵۲۴ میلیون سال [۱۶] به دست آمده است. این گستره سنی با نئوپروتروزونئیک‌پسین (ادیاکارن) همخوانی دارد و نشانگر فعالیت‌های زمین ساخت ماقمایی مربوط به رخداد کوه‌زایی کادومین در سرزمین‌های گندوانایی ایران است. این دگرگونی دینامیکی در منطقه به احتمال بسیار کمی پس از دگرگونی‌ناحیه‌ای و در همان گستره زمانی نئوپروتروزونئیک‌پسین صورت گرفته است. حسین زاده و همکاران [۵] با سن‌سنجدی بر قله‌سنگ‌های گرانیت میلیونی مربوط به کنگلومرای قاعده توالی ژوراسیک، یکی از فازهای زمین ساختی اصلی منجر به میلیونیت‌زایی را دوره زمانی اوخر نئوپروتروزونئیک در نظر گرفته‌اند. در مورد زمان رخداد دگرگونی برگشتی هنوز اطلاعات مستند کافی وجود ندارد، ولی احتمال دارد که این رخداد طی بالازدگی و کاهش فشار محیط قرارگیری سنگ‌ها و ورود سیال‌های آبدار به محیط دگرگونی پسرونده انجام شده باشد. شاید تعیین سن سریسیت یا مسکوویت‌های تازه تشکیل شده در این سنگ‌ها بتواند به این

- pluton of Biyarjomand (SE of Shahrood)"* PhD thesis, Shahrood University of Technology, Shahrood, (2015).
- [14] Khebreh D., "Petrology and Geochemistry of AhmadAbad-RezaAbad complex Late Neoproterozoic Metamorphic-igneous rocks, M. Sc thesis, Shahrood University of Technology, Shahrood(2017).
- [15] Shekari S., "Petrology and geochemistry of Shotor Kuh metamorphic- igneous complex", PhD thesis, Shahrood University of Technology, Shahrood, (2018).
- [16] veiskaramim M., "Petrology, Geochemistry and Geodinamics of Majerad metamorphic Complex (Southeast of Shahrood)", PhD thesis, Shahrood University of Technology, Shahrood, (2018)
- [17] Ghasemi H., Rostami Hosouri M., Sadeghian M., "Basic Magmatism in the Extentional Back-arc Basin of the Lower-Middle Jurassic on the Northern Edge of Central Iran-South of Eastern Alborz Zones, Shahrood-Damghan". GEOSCIENCES, 107 (2018)123-136.
- [18] Rostami-hussory M, ghasemi H, kavan nang P, rezaei M, mobasher M., "Mineralchemistry and thermobarometry of Jurassic diabase dikes swarm from West Reza-Abad (South West of Biarjomand)". Iranian Journal of Crystallography and Mineralogy, 25(2018) 761-774
- [19] Balaghi Einalou Z., Sadeghian M., Ghasemi H., Zhai M. G., Mohajel M., "Mineralogy, geochemistry and radiometric age of mafic dikes in Delbar metamorphic complex (Southeast of shahrood)", Iranian Journal of Crystallography and Mineralogy, 22(2013b) 484-471.
- [20] Veiskaram., Sadeghian M., Ghasemi H and Mingguo Z., " Majerad gabbrodiorites in the southeast of Shahrood: An evidence to the starting of opening of the supra-subduction basin of the Sabzevar Neotethyan branch in the middle Jurassic", Iranianin Journal of Crystallography and Mineralogy.
- [21] Ghasemi H., "Petrography and Petrogenesis of Metamorphic Rocks: Volume 1: Essentials of Petrography and Study Methods", Shahrood University of Technology Publications. First Ed. (2015) 563p.
- [22] Holdaway M. J., "Significance of chloritoid bearing and staurolite bearing rocks in the Picuris Range, New Mexico", Geol. Soc. America Bull., 89(1978) 1404-1414.
- the Arctic region", Geological Society, London, 35(2011)79-129.*
- [4] Rossetti F., Nozaem R., Lucci F., Vignaroli G., Gerdes A., Nasrabadi M., Theye T., "Tectonic setting and geochronology of the Cadomian (Ediacaran-Cambrian) magmatism in Central Iran, Kuh-e-Sarhangi region (NW Lut Block) ", Journal of Asian Earth Sciences, 102 (2015) 24-44.
- [5] Hassanzadeh J., Stockli D.F., Horton B.K. Axen G.J., Stockli L.D., Grove M., Schmitt A.K., and Walker J.D., "U-Pb zircon geochronology of late Neoproterozoic -Early Cambrian granitoids in Iran: Implications for paleogeography, magmatism, and exhumation history of Iranian basement", Tectonophysics, 451 (2008) 71–96.
- [6] Jamshidi Badr M., Collins A. S, Masoudi F., Cox G. and Mohajel M., "The U-Pb age, geochemistry and tectonic significance of granitoids in the Soursat Complex, Northwest Iran", Turkish Journal of Earth Science, 22(2013) 1-31.
- [7] Nutman A. P., Mohajel M., Bennet V. C. and Fergusson C.L., "Gondwanan Eoarchean–Neoproterozoic ancient crustal material in Iran and Turkey: zircon U–Pb–Hf isotopic evidence", Canadian Journal of Earth Sciences, 51 (2014) 272–285.
- [8] Shafaii Moghadam H., Khademi M., Hu Z., Stern R. J., Santos J. F. and Wue Y., " Cadomian (Ediacaran–Cambrian) arc magmatism in the ChahJam–Biarjmand metamorphic complex (Iran): Magmatism along the northern active margin of Gondwana", Gondwana Research, 27 (2015) 439-452.
- [9] Rahmati-Ikhchi M., Ph.D. Thesis, "Metamorphism and geotetconic position of the Shotorkuh complex, Central Iranian Block", geological survey of Czech Republic (2009).
- [10] Azizi M., "Petrology and geochemistry of Sefidsang granitoids and hose Metamorphic rocks (S Biyarjomand)", M. Sc thesis, Shahrood University of Technology, Shahrood(2012)
- [11] Hemmati A., "Petrology and geochemistry of Mayamey granitoids pluton (SW Mayamey)", M. Sc thesis, Shahrood University of Technology, Shahrood(2013).
- [12] Balaghi Einalou M., "Petrology and Geochemistry of Delbar metamorphic-igneous complex, Biarjomand Region (Southeast of Shahrood)", PhD thesis, Shahrood University of Technology, Shahrood, (2015).
- [13] Hosseini S. H., "Petrology, geochemistry and geochronology of Band-e-Hezar Chah granitoid

- [29] Hey M. H., "Nomenclature of chlorites", Mineralogical Magazine, (1954)277.
- [30] Guidotti C.V. and Sassi F.P., "Constraints on studies of metamorphic K-Na white micas" Reviews in mineralogy and geochemistry, 46 (2002) 413-448.
- [31] Henry D. J., Guidotti C. V. and Thomson J. A., "The Ti-saturation surface for low-to-medium pressure metapelitic biotites: Implications for geothermometry and Ti-substitution mechanisms", American Mineralogist, 90 (2005) 316-328.
- [32] Cathelineau M., Nieva D., "A chlorite solid solution geothermometer, the Los Azufres (Mexico) geothermal system", Contribution to Mineralogy and Petrology, 19 (1985) 235-244.
- [33] Zane A., Weiss Z., "A procedure for classifying rock-forming chlorites based on microprobe data", Rendiconti Lincei 9, 1 (1998) 51-56.
- [34] Shekari S., Sadeghian M., Ghasemi H., Zhai M., "Mineral chemistry, petrogenesis of metapelitic rocks of metamorphic - igneous Shotor-Kuh complex (SE Shahrood)", Iranian Journal of Crystallography and Mineralogy, 26(2018) 179-194.
- [23] Deer W.A., Howie R.A., Zussman J., "An Introduction to the rock forming minerals" Longman, London, (1992) 528.
- [24] Foster M. D "Interpretation of the composition of trioctahedral micas", U.S. Government Printing Office, 354B (1960) 11-49.
- [25] Feenstra A., "An EMP and TEM-AEM Study of Margarite, Muscovite and Paragonite in Polymetamorphic Metabauxites of Naxos (Cyclades, Greece) and the Implications of Fine-scale Mica Interlayering and Multiple Mica Generations", Journal of Petrology, 37(1996) 201-233.
- [26] Yardley B. W. D., "An empirical study of diffusion in garnet", Am Mineral, 62(1977) 793-800.
- [27] Inui M., Toriumi M. A., "theoretical study on the formation of growth zoning in garnet consuming chlorite", J. Petrol, 45 (2004) 1369-1392.
- [28] Ghasemi H., "Petrography and Petrogenesis of Metamorphic Rocks: Volume 2: Petrogenesis of Compositional Groups and Tectonic Settings of Metamorphic Event". Shahrood University of Technology Publications. First Ed, (2016) 725p.